

Лабораторная работа №4  
Шум

Кобыжев Александр

7 апреля 2021 г.

# Оглавление

<b>1</b>	<b>Теоретическая часть о свойствах преобразования Фурье</b>	<b>5</b>
1.1	Общие сведения . . . . .	5
1.2	Свойства . . . . .	5
1.2.1	Линейность . . . . .	5
1.2.2	Смещение функции . . . . .	6
1.2.3	Масштабирование функции . . . . .	6
1.2.4	Перемножение функции . . . . .	7
1.2.5	Свёртывание функции . . . . .	7
1.2.6	Дифференцирование функции . . . . .	7
1.2.7	Интегрирование функции . . . . .	8
1.2.8	Обратимость . . . . .	9
<b>2</b>	<b>Упражнение 4.1</b>	<b>10</b>
<b>3</b>	<b>Упражнение 4.2</b>	<b>15</b>
<b>4</b>	<b>Упражнение 4.3</b>	<b>17</b>
<b>5</b>	<b>Упражнение 4.4</b>	<b>20</b>
<b>6</b>	<b>Упражнение 4.5</b>	<b>25</b>
<b>7</b>	<b>Выводы</b>	<b>29</b>

# Список иллюстраций

2.1	Спектр звука . . . . .	11
2.2	Спектр мощности звука . . . . .	12
2.3	Спектр двух звуков . . . . .	13
2.4	Спектр мощности двух звуков . . . . .	13
2.5	Спектрограмма звука . . . . .	14
3.1	Сегменты звуков . . . . .	16
4.1	Таблица данных . . . . .	17
4.2	Визуализация данных . . . . .	18
4.3	Спектр искусственного звука . . . . .	19
5.1	Визуализация звука . . . . .	21
5.2	Спектр мощности звука . . . . .	22
5.3	Визуализация нового звука . . . . .	23
5.4	Сравнение спектров . . . . .	24
6.1	Визуализация звука . . . . .	26
6.2	Спектр мощности звука . . . . .	27
6.3	Спектр мощности звука . . . . .	28

# Листинги

2.1	Прослушивание скачанного шума . . . . .	10
2.2	Выбор короткого отрезка . . . . .	10
2.3	Спектр звука . . . . .	10
2.4	Спектр мощности звука . . . . .	11
2.5	Выбор другого сегмента звука . . . . .	12
2.6	Спектр двух звуков . . . . .	12
2.7	Спектр мощности двух звуков . . . . .	13
2.8	Спектрограмма звука . . . . .	14
3.1	Функция <code>bartlett_method</code> . . . . .	15
3.2	Сегменты звуков . . . . .	15
4.1	Таблица данных . . . . .	17
4.2	Визуализация данных . . . . .	17
4.3	Спектр искусственного звука . . . . .	18
4.4	Наклон прямой . . . . .	19
5.1	Созданный класс <code>UncorrelatedPoissonNoise</code> . . . . .	20
5.2	Создание звука . . . . .	20
5.3	Создание звука . . . . .	20
5.4	Визуализация звука . . . . .	21
5.5	Спектр мощности звука . . . . .	21
5.6	Наклон прямой . . . . .	22
5.7	Создание нового звука . . . . .	22
5.8	Визуализация нового звука . . . . .	22
5.9	Сравнение спектров . . . . .	23
6.1	Создание функции . . . . .	25
6.2	Генерация значений . . . . .	25
6.3	Создание звука . . . . .	26
6.4	Визуализация звука . . . . .	26
6.5	Спектр мощности звука . . . . .	26
6.6	Наклон прямой . . . . .	27
6.7	Генерация более длинной выборки . . . . .	27
6.8	Использование метода Барлетта . . . . .	27

6.9	Спектр мощности звука . . . . .	28
6.10	Наклон прямой . . . . .	28

# Глава 1

## Теоретическая часть о свойствах преобразования Фурье

### 1.1 Общие сведения

Преобразование Фурье функции  $f$  вещественной переменной является интегральным и задаётся следующими формулами:

$$\begin{aligned}\text{Прямое: } F(\nu) &= \int_{-\infty}^{\infty} f(t)e^{-2\pi i\nu t} dt \\ \text{Обратное: } f(t) &= \int_{-\infty}^{\infty} F(\nu)e^{2\pi i\nu t} d\nu\end{aligned}$$

### 1.2 Свойства

#### 1.2.1 Линейность

По определению, для некоторого векторного пространства  $(V, K, +, \cdot)$ ,  $a, b \in V$ ,  $\gamma \in K$ :

$$f : V \rightarrow V \text{ - линейна} \iff \begin{cases} \gamma \cdot f(a) = f(\gamma \cdot a) \\ f(a) + f(b) = f(a + b) \end{cases}$$

Очевидно, что преобразование Фурье (ПФ) удовлетворяет этому условию (как функция на  $(\mathbb{R} \rightarrow \mathbb{R}, \mathbb{C}, +, \cdot)$ ), а следовательно:

$$\begin{aligned} \text{Fourier} \left( \sum_i \alpha_i \phi_i(t) \right) &= \sum_i \alpha_i \cdot \text{Fourier}(\phi_i(t)) \\ &= \sum_i \alpha_i \Phi_i(\nu) \end{aligned}$$

### 1.2.2 Сдвиг функции

При сдвиге функции  $\phi(t)$  на  $\Delta t$  результат ПФ умножается на  $e^{2\pi i \nu \Delta t}$ . Пусть  $t' = t + \Delta t$ , тогда:

$$\begin{aligned} \text{Fourier}(\phi(t + \Delta t)) &= \int_{-\infty}^{\infty} \phi(t + \Delta t) e^{-2\pi i \nu t} dt \\ &= \int_{-\infty}^{\infty} \phi(t') e^{-2\pi i \nu (t' - \Delta t)} dt \end{aligned}$$

Так как  $dt' = d(t + \Delta t) = dt$ , то:

$$\begin{aligned} \int_{-\infty}^{\infty} \phi(t') e^{-2\pi i \nu (t' - \Delta t)} dt' &= e^{2\pi i \nu \Delta t} \cdot \int_{-\infty}^{\infty} \phi(t') e^{-2\pi i \nu t'} dt' \\ &= e^{2\pi i \nu \Delta t} \cdot F(\nu) \end{aligned}$$

### 1.2.3 Масштабирование функции

Пусть  $t' = \alpha t$ , тогда:

$$\begin{aligned} \text{Fourier}(\phi(\alpha t)) &= \int_{-\infty}^{\infty} \phi(\alpha t) e^{-2\pi i \nu t} dt \\ &= \int_{-\infty}^{\infty} \phi(t') e^{-2\pi i \nu \frac{t'}{\alpha}} dt \end{aligned}$$

Так как  $dt' = \alpha dt$ , то для  $a > 0$ :

$$\begin{aligned} \int_{-\infty}^{\infty} \phi(t') e^{-2\pi i \nu \frac{t'}{\alpha}} dt &= \frac{1}{\alpha} \int_{-\infty}^{\infty} \phi(t') e^{-2\pi i \frac{\nu}{\alpha} t'} dt' \\ &= \frac{1}{\alpha} \Phi\left(\frac{\nu}{\alpha}\right) \end{aligned}$$

Для  $a < 0$  получится  $dt' < 0$  при  $dt > 0$ . При этом нужно поменять пределы интегрирования местами, тогда получим результат с отрицательным знаком:

$$-\frac{1}{\alpha} \Phi\left(\frac{\nu}{\alpha}\right)$$

Таким образом, в одной форме это:

$$\frac{1}{|\alpha|} \Phi\left(\frac{\nu}{\alpha}\right)$$

Вывод: при сжатии функции по времени в  $\alpha$  раз, её ПФ расширяется по частоте в  $\alpha$  раз.

### 1.2.4 Перемножение функции

ПФ произведения двух функций - это свёртка их ПФ.

$$\begin{aligned} \text{Fourier}(\phi(t)\xi(t)) &= \int_{-\infty}^{\infty} \phi(t)\xi(t)e^{-2\pi i\nu t} dt \\ &= \int_{-\infty}^{\infty} \left( \int_{-\infty}^{\infty} \Phi(k)e^{2\pi ikt} dk \right) \xi(t)e^{-2\pi i\nu t} dt \\ &= \int_{-\infty}^{\infty} \Phi(k) \left( \int_{-\infty}^{\infty} \xi(t)e^{2\pi i(k-\nu)t} dt \right) dk \\ &= \int_{-\infty}^{\infty} \Phi(k) \left( \int_{-\infty}^{\infty} \xi(t)e^{-2\pi i(\nu-k)t} dt \right) dk \\ &= \int_{-\infty}^{\infty} \Phi(k)\Xi(\nu-k)dk \\ &= (\Phi * \Xi)(\nu) \end{aligned}$$

### 1.2.5 Свёртывание функции

ПФ свёртки двух функций есть произведение ПФ этих функций. Доказывается аналогично в силу «симметрии» прямого и обратного преобразований Фурье.

### 1.2.6 Дифференцирование функции

При дифференцировании  $\phi(t)$  по  $t$  её ПФ умножается на  $2\pi i\nu$ .



$$\begin{aligned}
Fourier \left( \frac{d\phi(t)}{dt} \right) &= \int_{-\infty}^{\infty} \frac{d\phi(t)}{dt} e^{-2\pi i \nu t} dt \\
&= \int_{-\infty}^{\infty} e^{-2\pi i \nu t} d\phi(t) \\
&= \phi(t) e^{-2\pi i \nu t} \Big|_{-\infty}^{\infty} - \int_{-\infty}^{\infty} \phi(t) d(e^{-2\pi i \nu t}) \\
&= \phi(t) e^{-2\pi i \nu t} \Big|_{-\infty}^{\infty} + 2\pi i \nu \int_{-\infty}^{\infty} \phi(t) e^{-2\pi i \nu t} dt \\
&= \phi(t) e^{-2\pi i \nu t} \Big|_{-\infty}^{\infty} + 2\pi i \nu \cdot \Phi(\nu)
\end{aligned}$$

Прямое и обратное преобразование Фурье существует для функций с ограниченной энергией, то есть:

$$\int_{-\infty}^{\infty} |\phi(t)|^2 dt \neq \infty$$

И из этого следует, что первое слагаемое равно 0.

### 1.2.7 Интегрирование функции

При интегрировании ПФ делится на  $2\pi i \nu$ .

$$\begin{aligned}
Fourier \left( \int_{-\infty}^t \phi(t') dt' \right) &= \int_{-\infty}^{\infty} \left( \int_{-\infty}^t \phi(t') dt' \right) e^{-2\pi i \nu t} dt \\
&= -\frac{1}{2\pi i \nu} \cdot \int_{-\infty}^{\infty} \left( \int_{-\infty}^t \phi(t') dt' \right) d(e^{-2\pi i \nu t}) \\
&= -\frac{1}{2\pi i \nu} \cdot \left[ e^{-2\pi i \nu t} \int_{-\infty}^t \phi(t') dt' \Big|_{-\infty}^{\infty} - \int_{-\infty}^{\infty} e^{-2\pi i \nu t} d \left( \int_{-\infty}^t \phi(t') dt' \right) \right] \\
&= -\frac{1}{2\pi i \nu} \cdot \left[ e^{-2\pi i \nu t} \int_{-\infty}^t \phi(t) dt \Big|_{-\infty}^{\infty} - \int_{-\infty}^{\infty} e^{-2\pi i \nu t} \phi(t) dt \right] \\
&= -\frac{1}{2\pi i \nu} \cdot \left[ 0 - \int_{-\infty}^{\infty} e^{-2\pi i \nu t} \phi(t) dt \right] \\
&= \frac{1}{2\pi i \nu} \cdot \int_{-\infty}^{\infty} e^{-2\pi i \nu t} \phi(t) dt \\
&= \frac{1}{2\pi i \nu} \cdot \Phi(\nu)
\end{aligned}$$

0 возникает потому, что  $\int_{-\infty}^{\infty} \phi(t') dt' = 0$ .

### **1.2.8 Обратимость**

Преобразования обратимы, причём обратное преобразование имеет практически такую же форму, как и прямое преобразование.

## Глава 2

### Упражнение 4.1

Для данного упражнения с предложенного сайта я скачал запись обстановки в ресторане.

```
1 wave =  
    thinkdsp.read_wave('173920__matias44__murmullo-restaurant.wav')  
2 wave.make_audio()
```

Листинг 2.1: Прослушивание скачанного шума

Выберем короткий отрезок:

```
1 segment = wave.segment(start=1.5, duration=1.0)  
2 segment.make_audio()
```

Листинг 2.2: Выбор короткого отрезка

Теперь составим его спектр.

```
1 spectrum = segment.make_spectrum()  
2 spectrum.plot_power()  
3 thinkplot.config(xlabel='Frequency (Hz)')
```

Листинг 2.3: Спектр звука

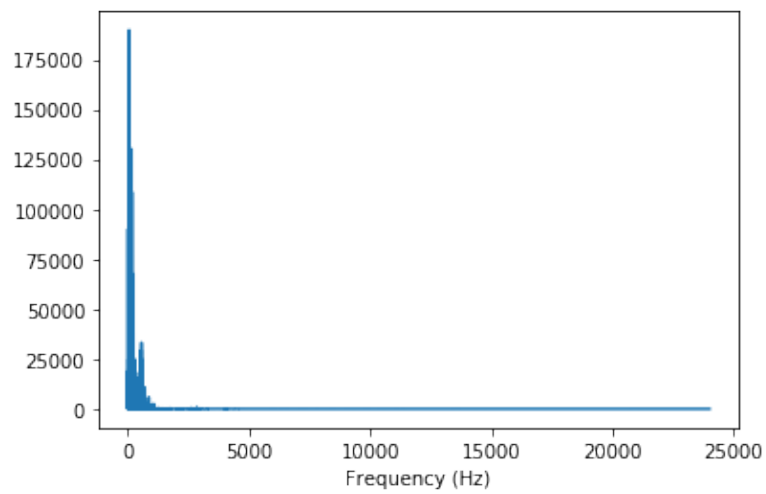


Рис. 2.1: Спектр звука

Амплитуда падает с частотой, поэтому это может быть красный или розовый шум. Мы можем проверить это, посмотрев на спектр мощности в логарифмической шкале.

```
1 spectrum.plot_power()  
2 thinkplot.config(xlabel='Frequency (Hz)',  
3                 xscale='log',  
4                 yscale='log')
```

Листинг 2.4: Спектр мощности звука

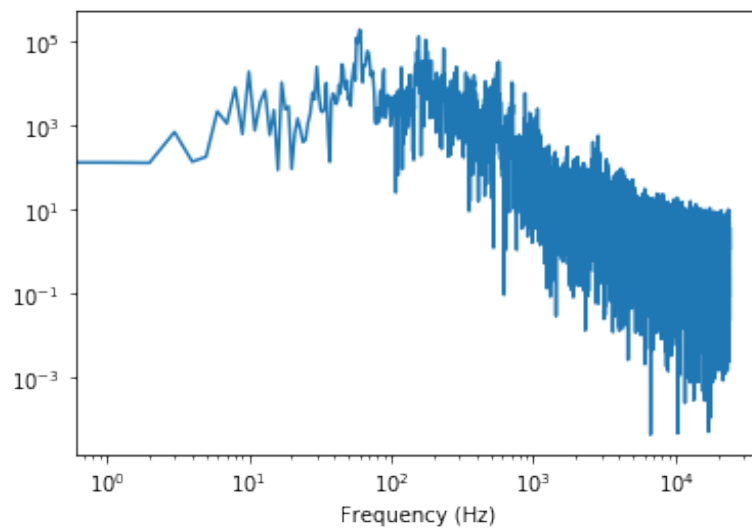


Рис. 2.2: Спектр мощности звука

Эта структура с увеличением, а затем и с уменьшением амплитуды кажется обычным явлением для естественных источников шума. Чтобы увидеть, как спектр меняется с течением времени, я выберу другой сегмент.

```
1 segment2 = wave.segment(start=2.5, duration=1.0)
2 segment2.make_audio()
```

Листинг 2.5: Выбор другого сегмента звука

Теперь рассмотрим два спектра:

```
1 spectrum2 = segment2.make_spectrum()
2 spectrum.plot_power()
3 spectrum2.plot_power(color='#beaed4')
4 thinkplot.config(xlabel='Frequency (Hz)',
5                  ylabel='Amplitude')
```

Листинг 2.6: Спектр двух звуков

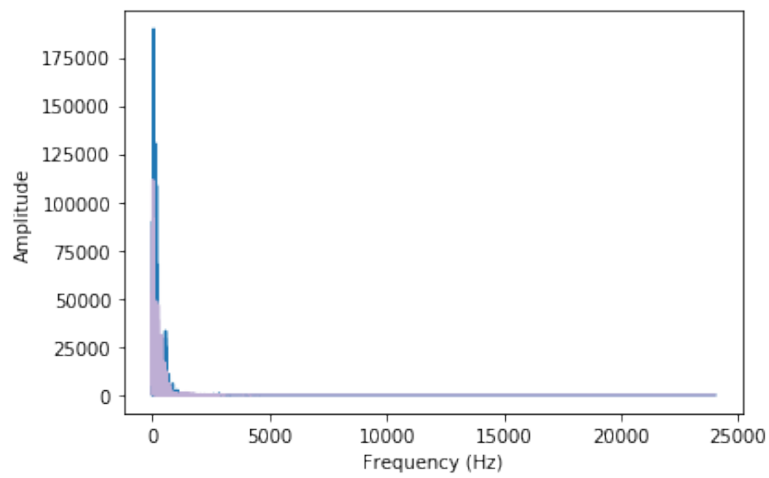


Рис. 2.3: Спектр двух звуков

Теперь рассмотрим график мощности в логарифмическом масштабе.

```

1 spectrum.plot_power()
2 spectrum2.plot_power(color='#beaed4')
3 thinkplot.config(xlabel='Frequency (Hz)',
4                   ylabel='Amplitude',
5                   xscale='log',
6                   yscale='log')

```

Листинг 2.7: Спектр мощности двух звуков

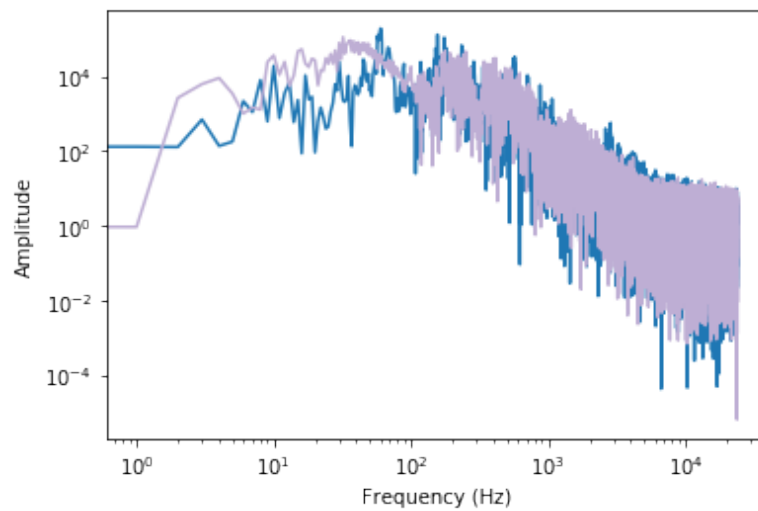


Рис. 2.4: Спектр мощности двух звуков

Таким образом, структура кажется неизменной с течением времени. Мы также можем посмотреть на спектрограмму:

```
1 segment.make_spectrogram(512).plot(high=5000)
```

Листинг 2.8: Спектрограмма звука

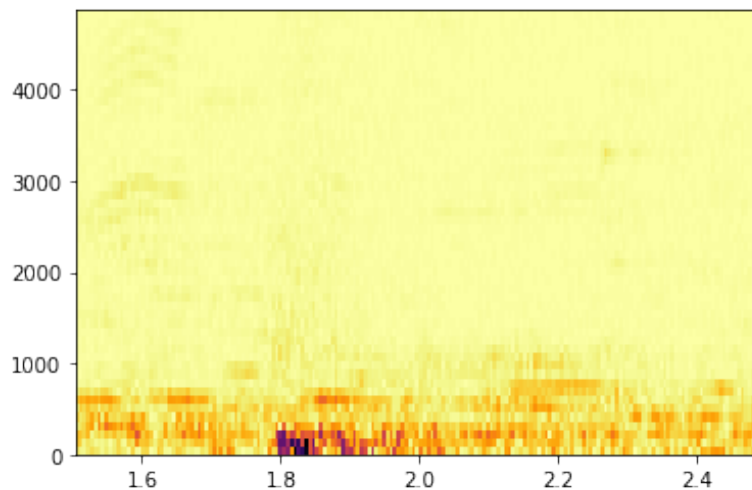


Рис. 2.5: Спектрограмма звука

В этом сегменте общая амплитуда падает, но смесь частот кажется стабильной.

## Глава 3

### Упражнение 4.2

`bartlett_method` создает спектрограмму и извлекает `spec_map`, который отображает время на объекты `Spectrum`. Он вычисляет PSD для каждого спектра, складывает их и помещает результаты в объект `Spectrum`.

```
1 def bartlett_method(wave, seg_length=512, win_flag=True):
2     # make a spectrogram and extract the spectrums
3     spectro = wave.make_spectrogram(seg_length, win_flag)
4     spectrums = spectro.spec_map.values()
5
6     # extract the power array from each spectrum
7     psds = [spectrum.power for spectrum in spectrums]
8
9     # compute the root mean power (which is like an amplitude)
10    hs = np.sqrt(sum(psds) / len(psds))
11    fs = next(iter(spectrums)).fs
12
13    # make a Spectrum with the mean amplitudes
14    spectrum = thinkdsp.Spectrum(hs, fs, wave.framerate)
15    return spectrum
```

Листинг 3.1: Функция `bartlett_method`

Построим сегменты:

```
1 psd = bartlett_method(segment)
2 psd2 = bartlett_method(segment2)
3
4 psd.plot_power()
5 psd2.plot_power(color='#beaed4')
6
7 thinkplot.config(xlabel='Frequency (Hz)',
```



```

8         ylabel='Power',
9         xscale='log',
10        yscale='log')

```

Листинг 3.2: Сегменты звуков

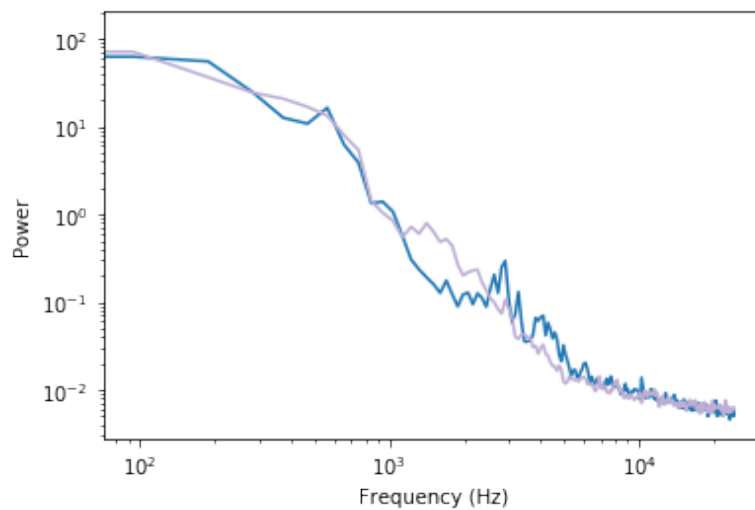


Рис. 3.1: Сегменты звуков

Теперь мы можем более чётко увидеть взаимосвязь между мощностью и частотой. Это не простая линейная зависимость, но она одинакова для разных сегментов, таких как около 1000 Гц, 6000 Гц и выше 10000 Гц.

# Глава 4

## Упражнение 4.3

На предложенной веб-странице я скачал данные о ежедневной цене BitCoin в течение года.

```
1 data = pd.read_csv('BTC_USD_2020-04-08_2021-04-07-CoinDesk.csv')
2 data
```

Листинг 4.1: Таблица данных

	Currency	Date	Closing Price (USD)	24h Open (USD)	24h High (USD)	24h Low (USD)
0	BTC	2020-04-08	7175.667477	7277.704282	7464.732245	7081.639209
1	BTC	2020-04-09	7367.293398	7175.669418	7424.743721	7155.211053
2	BTC	2020-04-10	7321.816614	7366.900961	7399.469133	7125.775519
3	BTC	2020-04-11	6866.398189	7321.815746	7325.324778	6752.593664
4	BTC	2020-04-12	6873.848495	6872.137266	6949.788875	6777.889694
...	...	...	...	...	...	...
360	BTC	2021-04-03	58821.626994	58726.084566	60101.752326	58478.598349
361	BTC	2021-04-04	57517.798773	58958.428985	59713.210136	57185.768006
362	BTC	2021-04-05	58177.402764	57134.860051	58540.984706	56552.222275
363	BTC	2021-04-06	58843.559540	58230.675538	59243.036175	56846.969047
364	BTC	2021-04-07	58040.187602	59133.655740	59484.199475	57421.853085

Рис. 4.1: Таблица данных

Визуализируем скачанные данные.

```
1 wave = thinkdsp.Wave(data['Closing Price (USD)'], data.index,
    framerate=1)
2 wave.plot()
3 thinkplot.config(xlabel='Time (days)')
```

Листинг 4.2: Визуализация данных

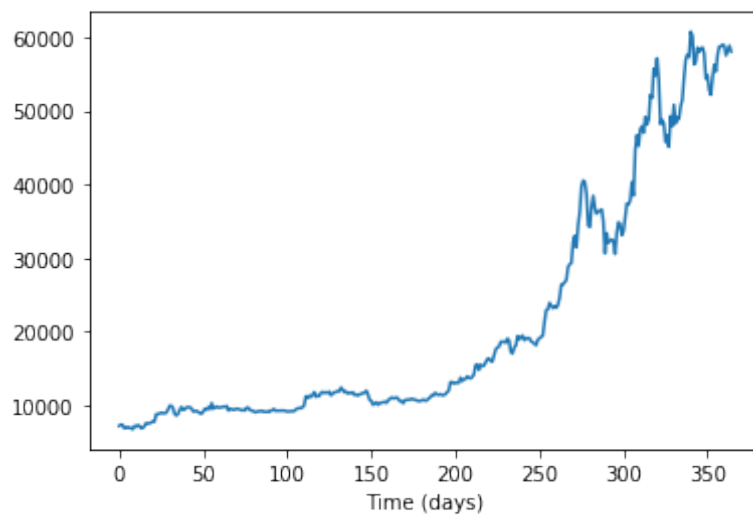


Рис. 4.2: Визуализация данных

Построим спектр искусственно созданного звука, где частотой будет выступать  $1/\text{дни}$ .

```
1 spectrum = wave.make_spectrum()  
2 spectrum.plot_power()  
3 thinkplot.config(xlabel='Frequency (1/days)',  
4                  xscale='log', yscale='log')
```

Листинг 4.3: Спектр искусственного звука

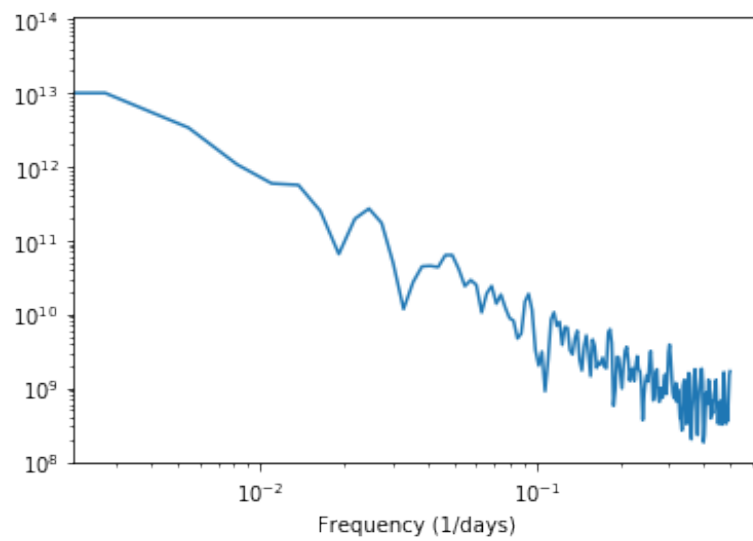


Рис. 4.3: Спектр искусственного звука

Спектр сход с прямой линией, поэтому можно предположить, что это "красный" или "розовый" шум. Проверим это, узнав наклон прямой.

```
1 spectrum.estimate_slope()[0]
```

Листинг 4.4: Наклон прямой

Наклон составляет  $-1.8216406076974851$ , что похоже на красный шум (который должен иметь наклон  $-2$ ).

# Глава 5

## Упражнение 4.4

Созданный класс `UncorrelatedPoissonNoise` представляет некоррелированный пуассоновский шум. Оценивает сигнал в заданное время.

```
1 class UncorrelatedPoissonNoise(thinkdsp.Noise):
2     def evaluate(self, ts):
3         ys = np.random.poisson(self.amp, len(ts))
4         return ys
```

Листинг 5.1: Созданный класс `UncorrelatedPoissonNoise`

Рассмотрим как это звучит при низких уровнях «радиации».

```
1 amp = 0.001
2 framerate = 10000
3 duration = 1
4
5 signal = UncorrelatedPoissonNoise(amp=amp)
6 wave = signal.make_wave(duration=duration, framerate=framerate)
7 wave.make_audio()
```

Листинг 5.2: Создание звука

Звук действительно похож на звуки от счётчика Гейгера, будто бы находишься где-то в Припяти. Чтобы убедиться, что все работает, мы сравниваем ожидаемое количество частиц и фактическое количество:

```
1 expected = amp * framerate * duration
2 actual = sum(wave.ys)
3 print(expected, actual)
```

Листинг 5.3: Создание звука

Количество частиц в обоих случаях равняется 10. Теперь рассмотрим

полученный звук:

```
1 wave.plot()
```

Листинг 5.4: Визуализация звука

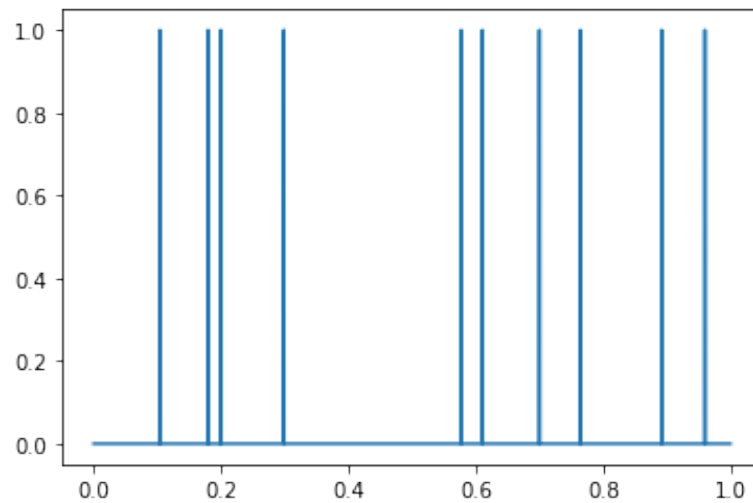


Рис. 5.1: Визуализация звука

Рассмотрим спектр мощности в логарифмическом масштабе:

```
1 spectrum = wave.make_spectrum()  
2 spectrum.plot_power()  
3 thinkplot.config(xlabel='Frequency (Hz)',  
4                 ylabel='Power',  
5                 xscale='log',  
6                 yscale='log')
```

Листинг 5.5: Спектр мощности звука

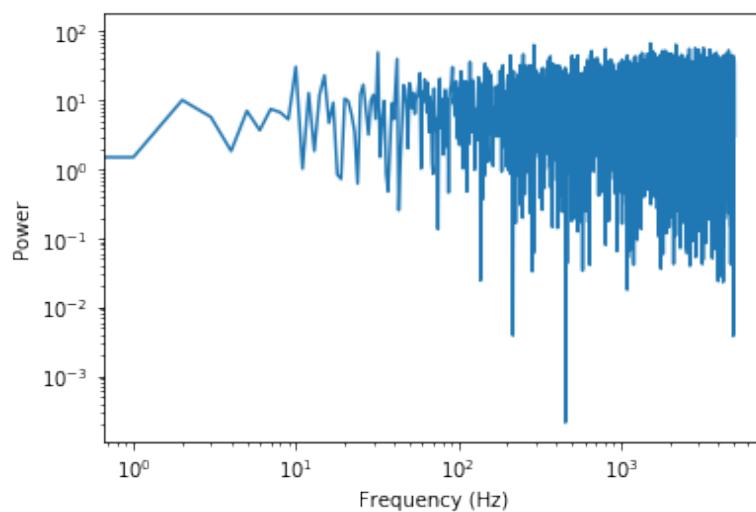


Рис. 5.2: Спектр мощности звука

Рассмотрим наклон:

```
1 spectrum.estimate_slope().slope
```

Листинг 5.6: Наклон прямой

Похоже на белый шум, а крутизна близка к 0 ( $-0.0006437981022653128$ ).

При более высокой скорости поступления это больше похоже на белый шум:

```
1 amp = 1
2 framerate = 10000
3 duration = 1
4
5 signal = UncorrelatedPoissonNoise(amp=amp)
6 wave = signal.make_wave(duration=duration, framerate=framerate)
7 wave.make_audio()
```

Листинг 5.7: Создание нового звука

Построим его график.

```
1 wave.plot()
```

Листинг 5.8: Визуализация нового звука

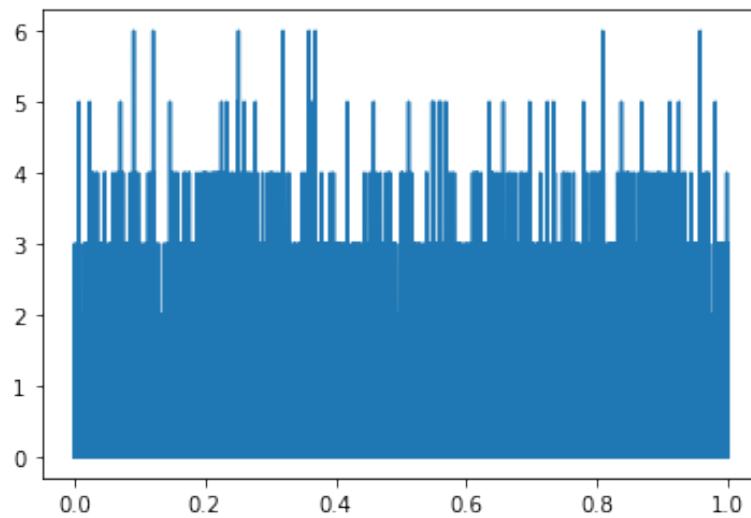


Рис. 5.3: Визуализация нового звука

И спектр сходится на гауссовском шуме.

```

1 spectrum = wave.make_spectrum()
2 spectrum.hs[0] = 0
3
4 thinkplot.preplot(2, cols=2)
5 thinkstats2.NormalProbabilityPlot(spectrum.real, label='real')
6 thinkplot.config(xlabel='Normal sample',
7                  ylabel='Power',
8                  legend=True,
9                  loc='lower right')
10
11 thinkplot.subplot(2)
12 thinkstats2.NormalProbabilityPlot(spectrum.imag, label='imag')
13 thinkplot.config(xlabel='Normal sample',
14                  loc='lower right')

```

Листинг 5.9: Сравнение спектров



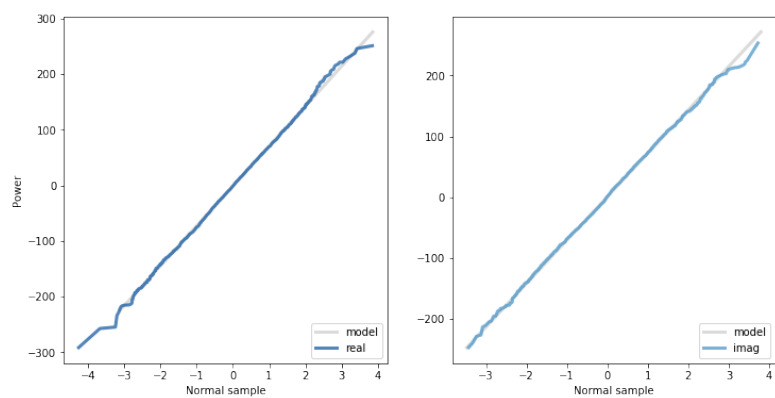


Рис. 5.4: Сравнение спектров

## Глава 6

### Упражнение 4.5

Вот весь процесс в функции: Создает розовый шум с помощью алгоритма Восс-Маккартни.

```
1 def voss(nrows, ncols=16):
2     array = np.empty((nrows, ncols))
3     array.fill(np.nan)
4     array[0, :] = np.random.random(ncols)
5     array[:, 0] = np.random.random(nrows)
6
7     # the total number of changes is nrows
8     n = nrows
9     cols = np.random.geometric(0.5, n)
10    cols[cols >= ncols] = 0
11    rows = np.random.randint(nrows, size=n)
12    array[rows, cols] = np.random.random(n)
13
14    df = pd.DataFrame(array)
15    df.fillna(method='ffill', axis=0, inplace=True)
16    total = df.sum(axis=1)
17
18    return total.values
```

Листинг 6.1: Создание функции

Чтобы проверить это, я сгенерирую 12005 значений:

```
1 ys = voss(12005)
2 ys
```

Листинг 6.2: Генерация значений

Теперь создадим из них звук:

```

1 wave = thinkdsp.Wave(ys)
2 wave.unbias()
3 wave.normalize()

```

Листинг 6.3: Создание звука

Теперь посмотрим на его визуализацию.

```

1 wave.plot()

```

Листинг 6.4: Визуализация звука

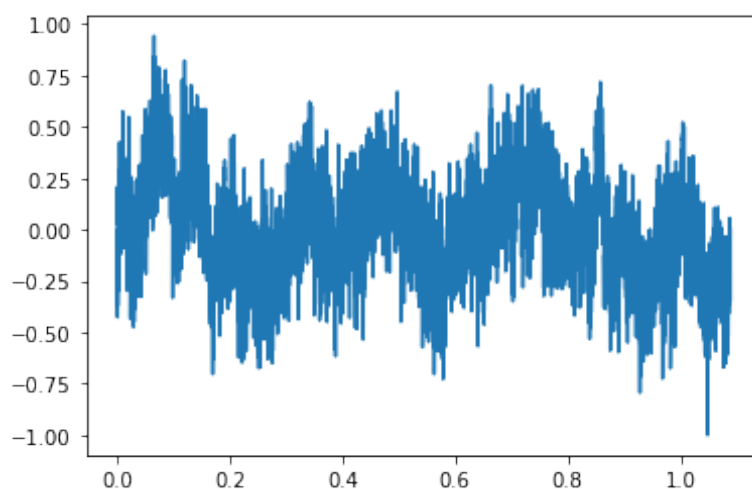


Рис. 6.1: Визуализация звука

Как и ожидалось, это больше похоже на случайное блуждание, чем на белый шум, но более случайное, чем на красный шум. Теперь рассмотрим спектр мощности:

```

1 spectrum = wave.make_spectrum()
2 spectrum.hs[0] = 0
3 spectrum.plot_power()
4 thinkplot.config(xlabel='Frequency (Hz)',
5                  xscale='log',
6                  yscale='log')

```

Листинг 6.5: Спектр мощности звука

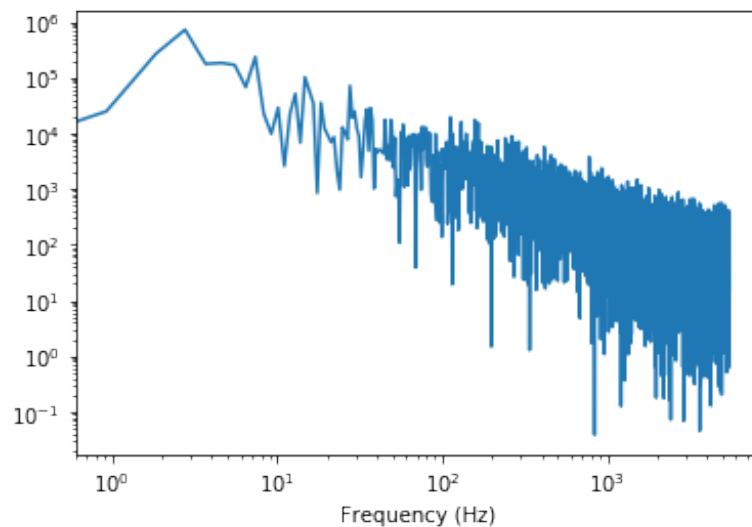


Рис. 6.2: Спектр мощности звука

Посмотрим на наклон:

```
1 spectrum.estimate_slope().slope
```

Листинг 6.6: Наклон прямой

Расчетный наклон близок к -1 (-1.0129573459835064).

Мы можем лучше понять средний спектр мощности, сгенерировав более длинную выборку:

```
1 seg_length = 40 * 124
2 iters = 100
3 wave = thinkdsp.Wave(voss(seg_length * iters))
4 len(wave)
```

Листинг 6.7: Генерация более длинной выборки

И используя метод Барлетта для вычисления среднего.

```
1 spectrum = bartlett_method(wave, seg_length=seg_length,
    win_flag=False)
2 spectrum.hs[0] = 0
3 len(spectrum)
```

Листинг 6.8: Использование метода Барлетта

Это довольно близко к прямой линии с некоторой кривизной на самых высоких частотах, если рассматривать спектр мощности звука.

```

1 spectrum.plot_power()
2 thinkplot.config(xlabel='Frequency (Hz)',
3                  xscale='log',
4                  yscale='log')

```

Листинг 6.9: Спектр мощности звука

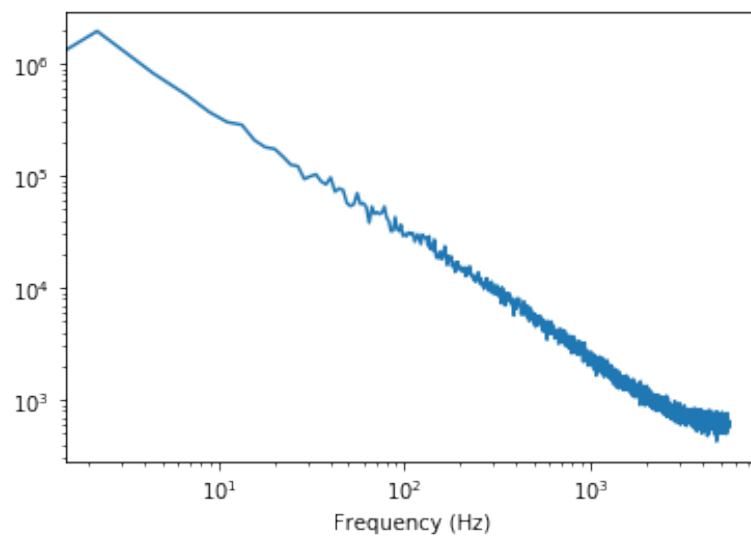


Рис. 6.3: Спектр мощности звука

Посмотрим на наклон:

```

1 spectrum.estimate_slope().slope

```

Листинг 6.10: Наклон прямой

Наклон теперь более близок к -1 ( $-1.0048368551745679$ ).

## Глава 7

### Выводы

Во время выполнения лабораторной работы получены навыки работы с различными видами шумов. Также получены навыки создания этих шумов через различные данные.